

1/23

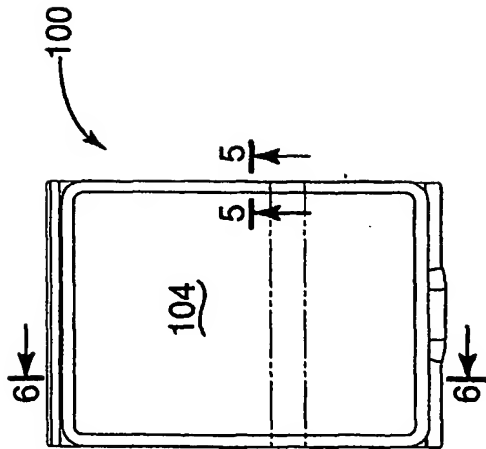


Fig. 1

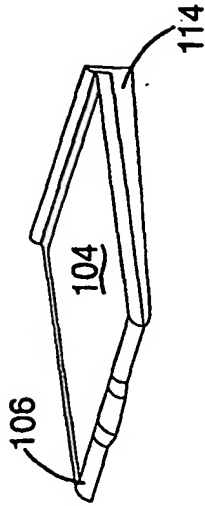


Fig. 4

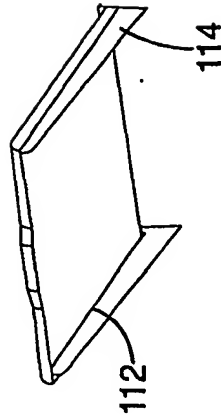


Fig. 3

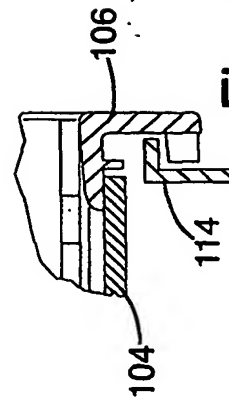


Fig. 5



Fig. 2



3/23

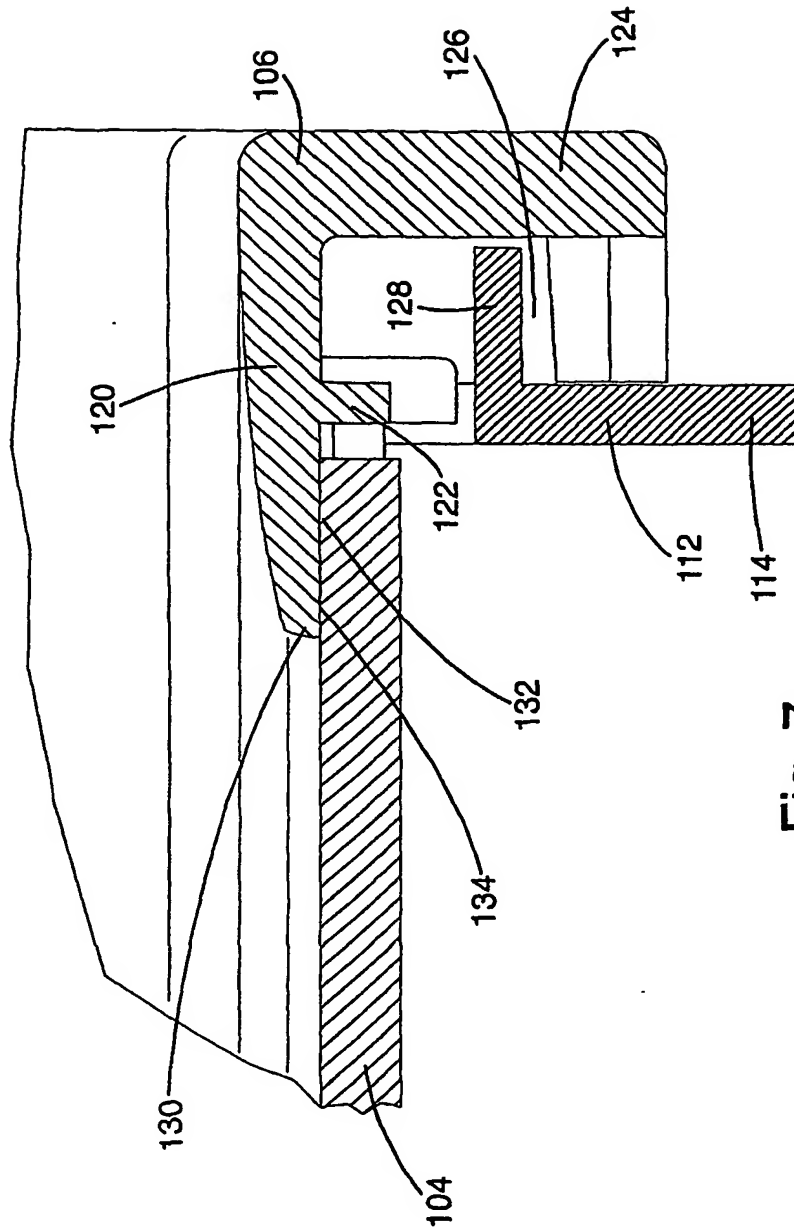


Fig. 7

4/23

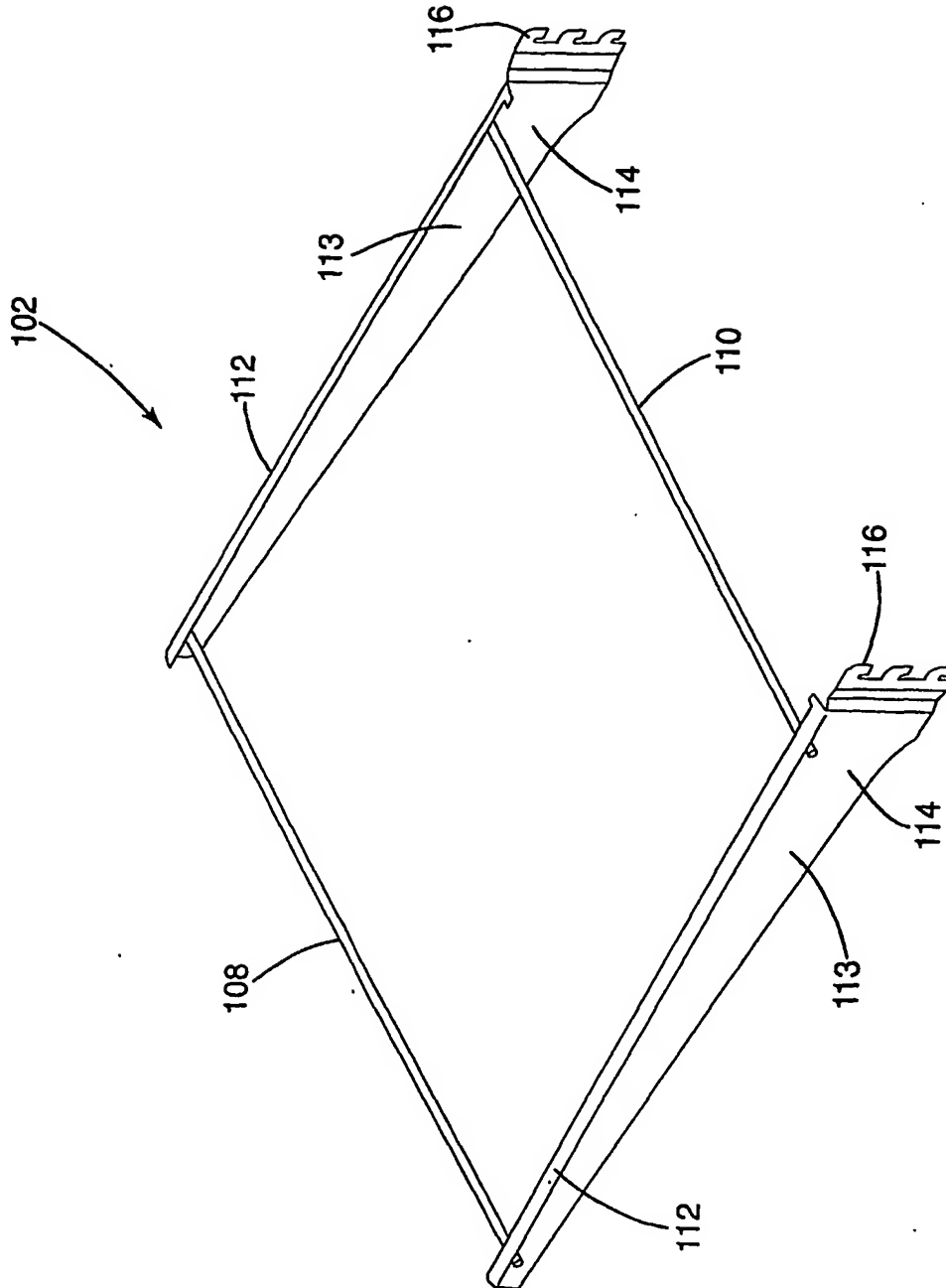


Fig. 8

5/23

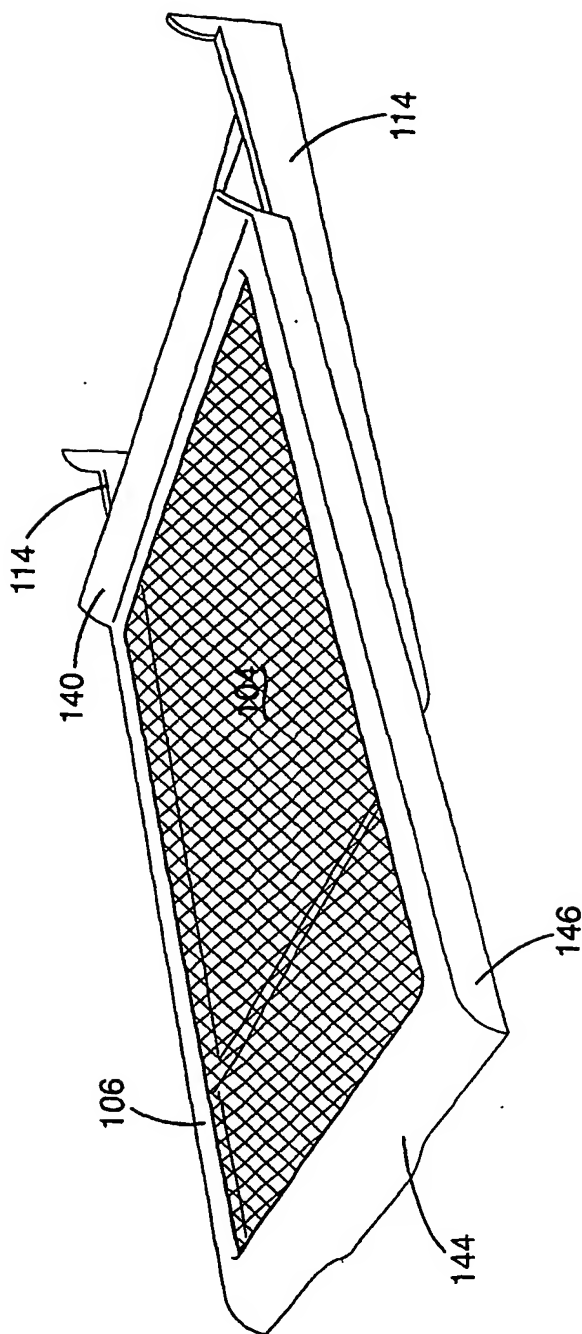


Fig. 9

6/23

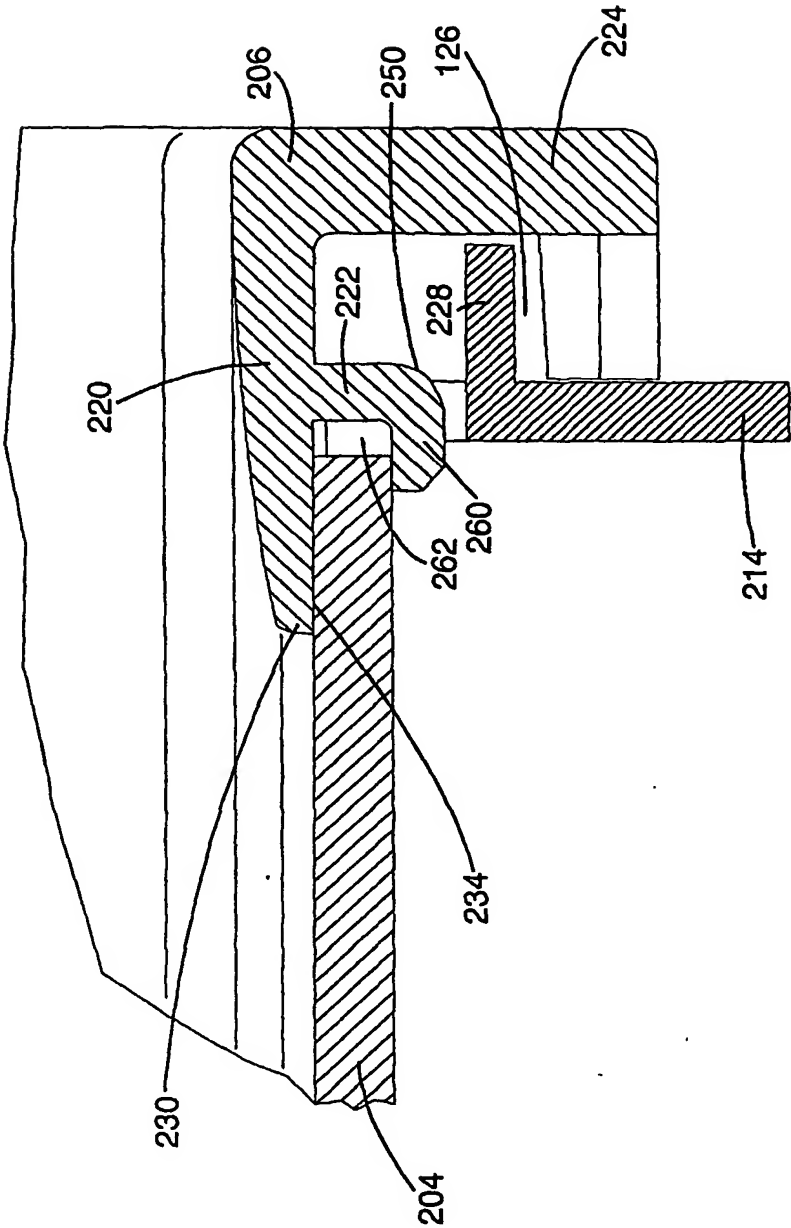


Fig. 10

7/23

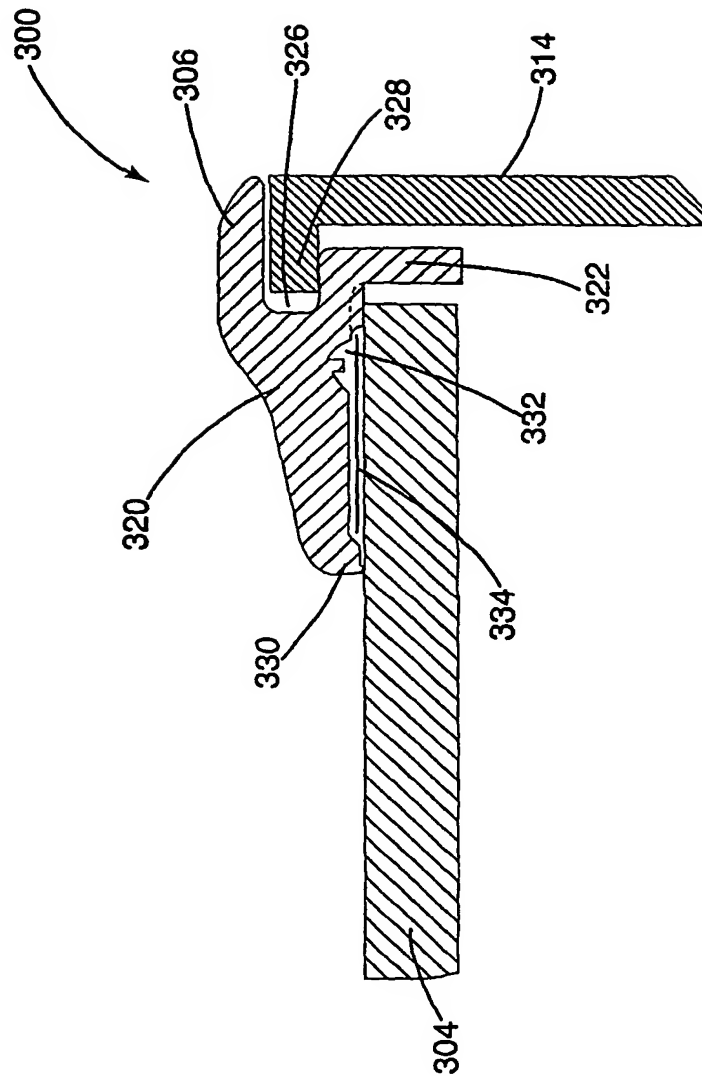


Fig. 11

8/23

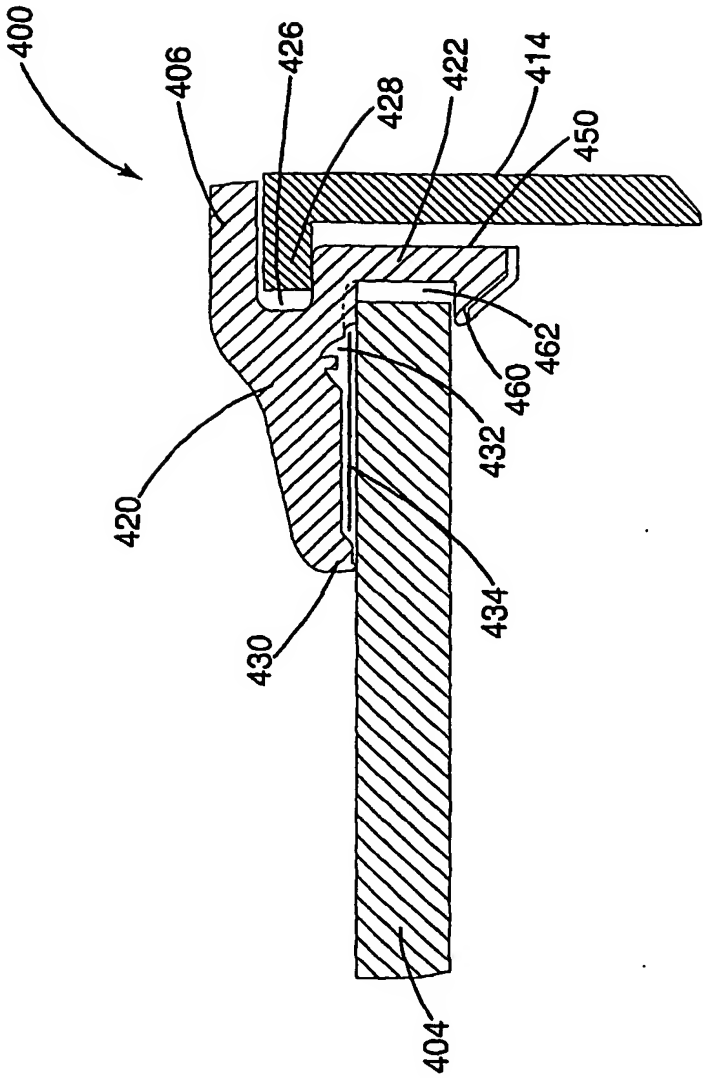


Fig. 12



9/23

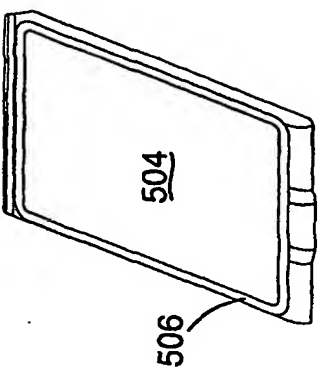


Fig. 15



Fig. 14

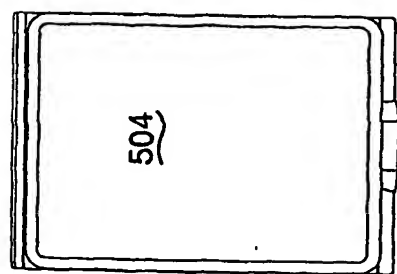


Fig. 13

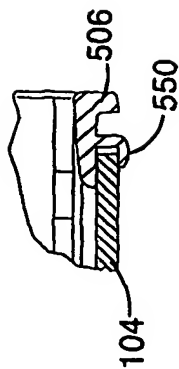


Fig. 19

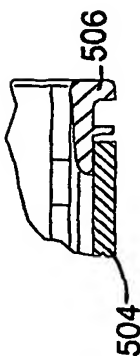


Fig. 18



Fig. 16



Fig. 17

10/23

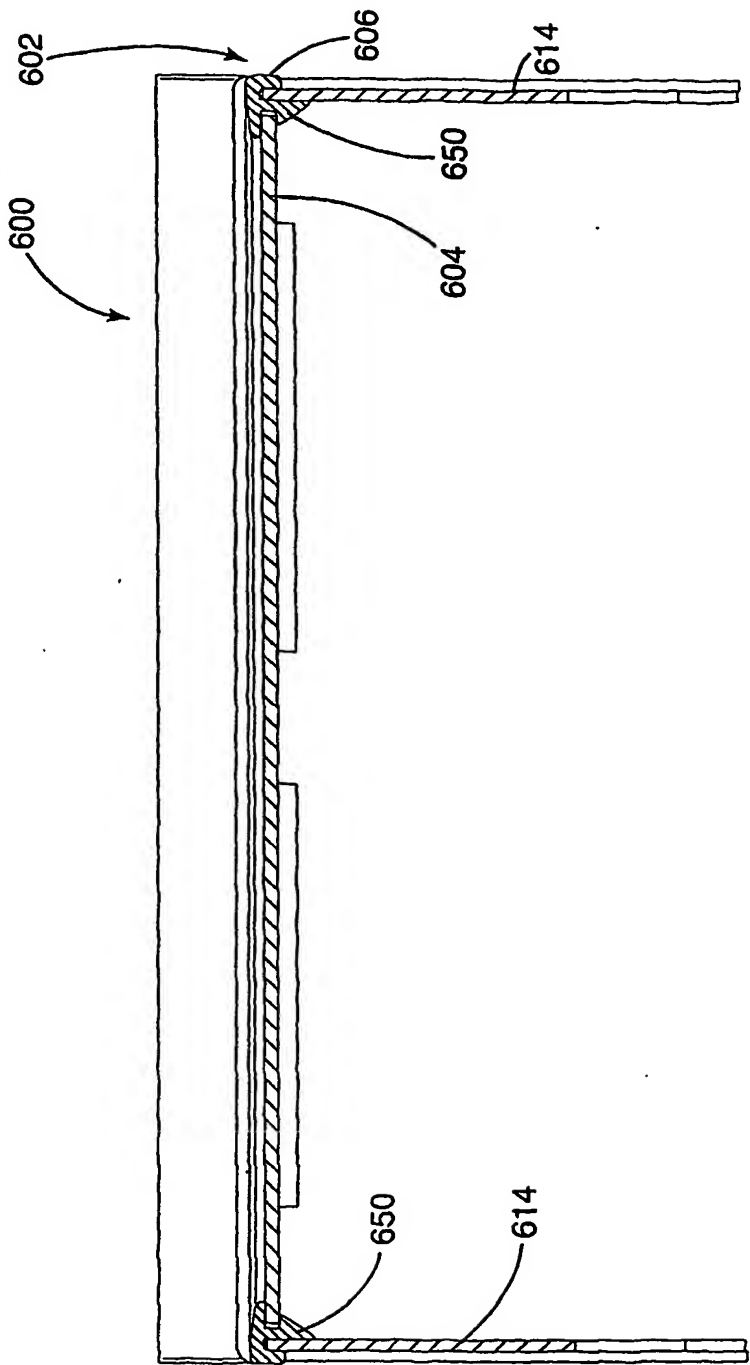


Fig. 20

11/23

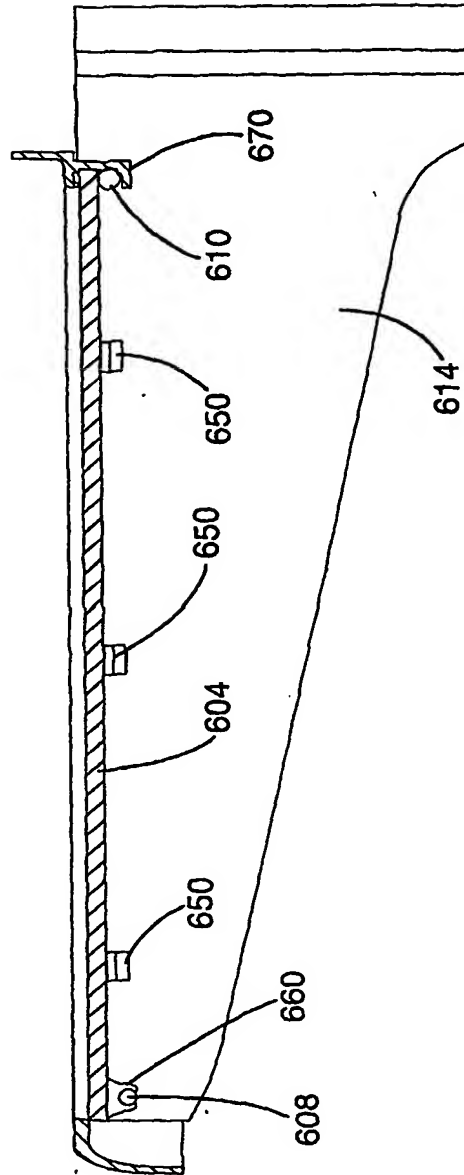


Fig. 21

12/23

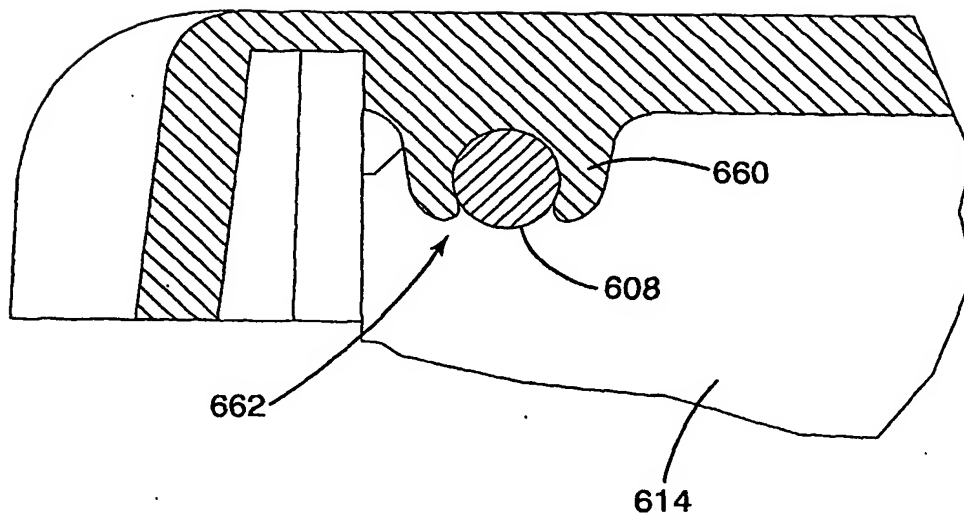


Fig. 22

13/23

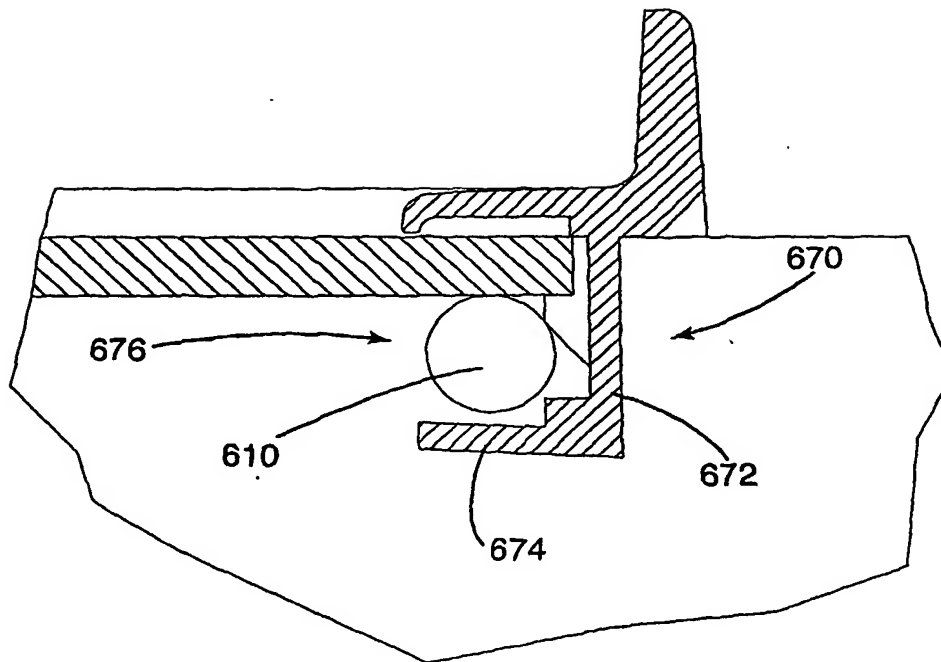


Fig. 23

14/23

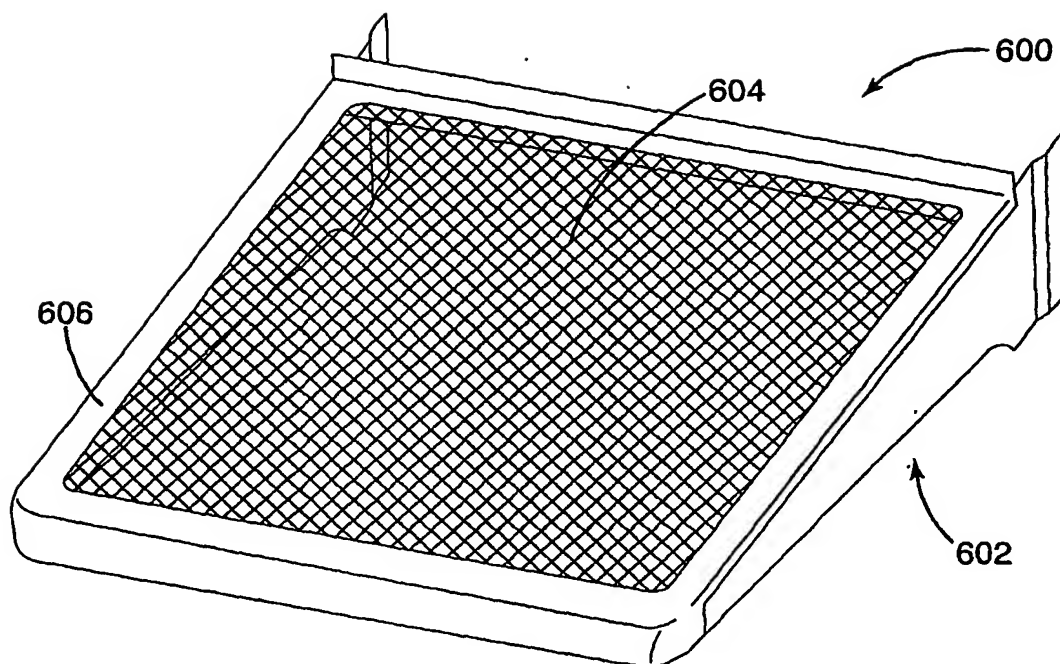


Fig. 24

15/23

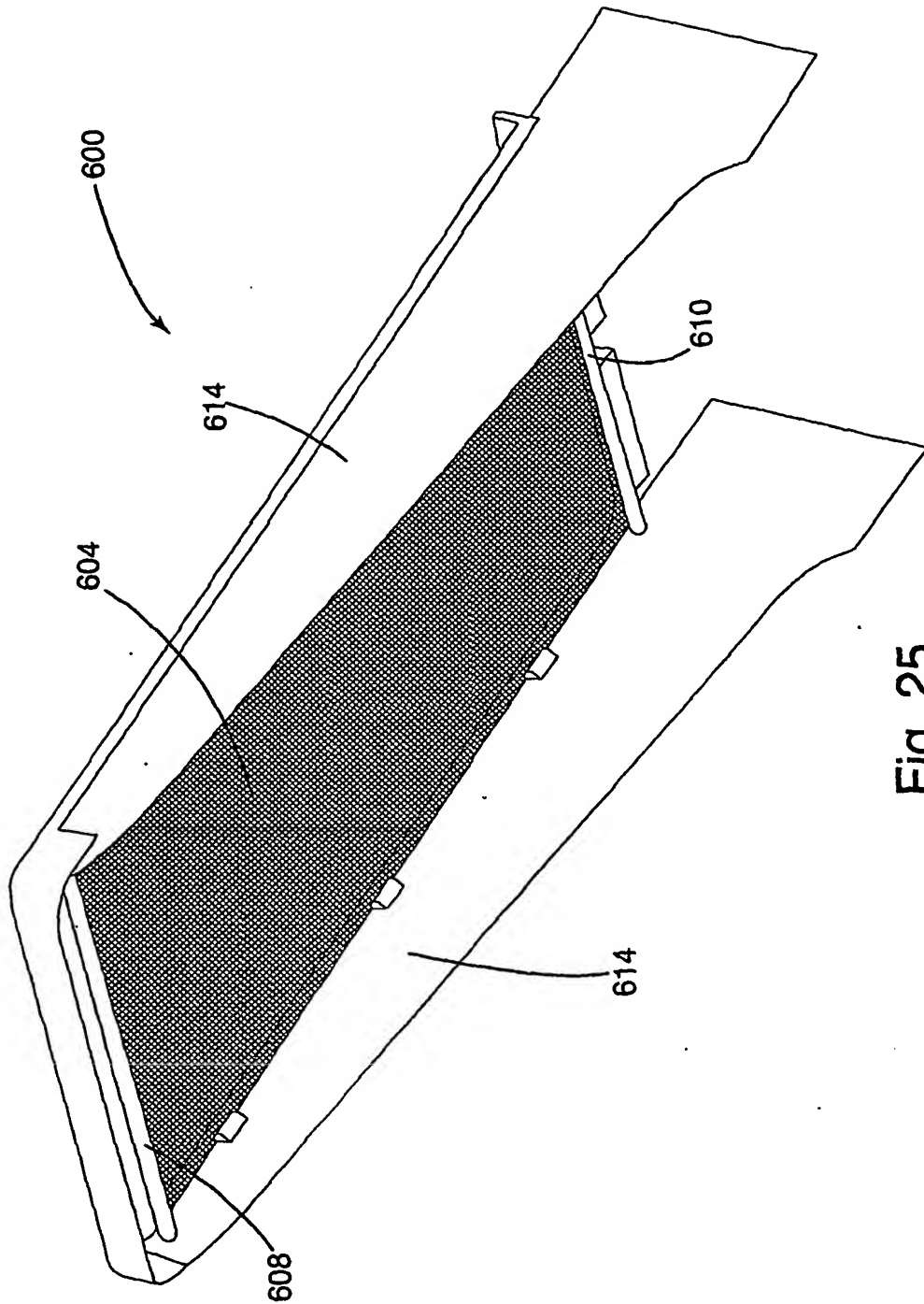


Fig. 25

16/23

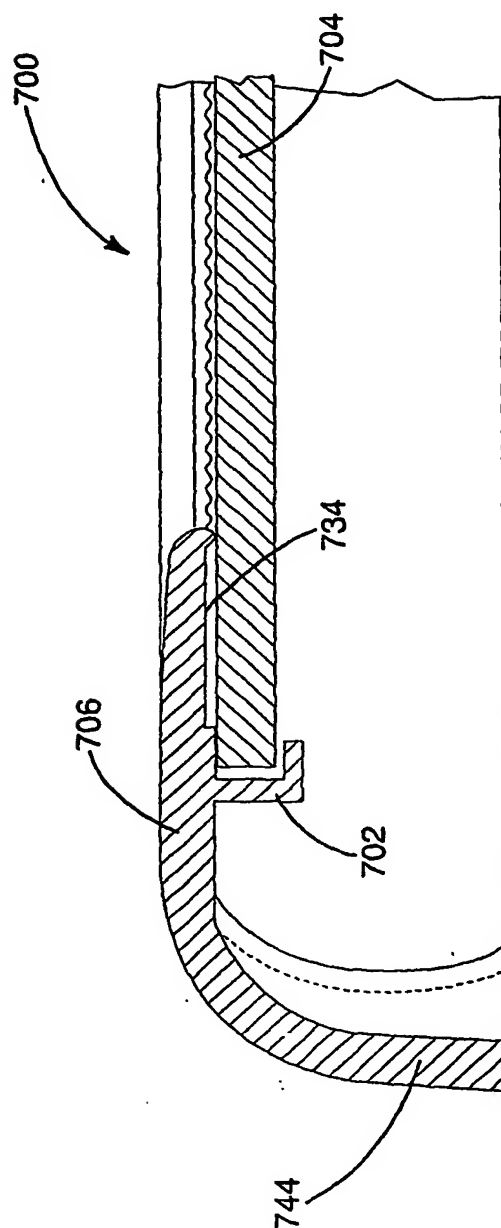


Fig. 26



17/23

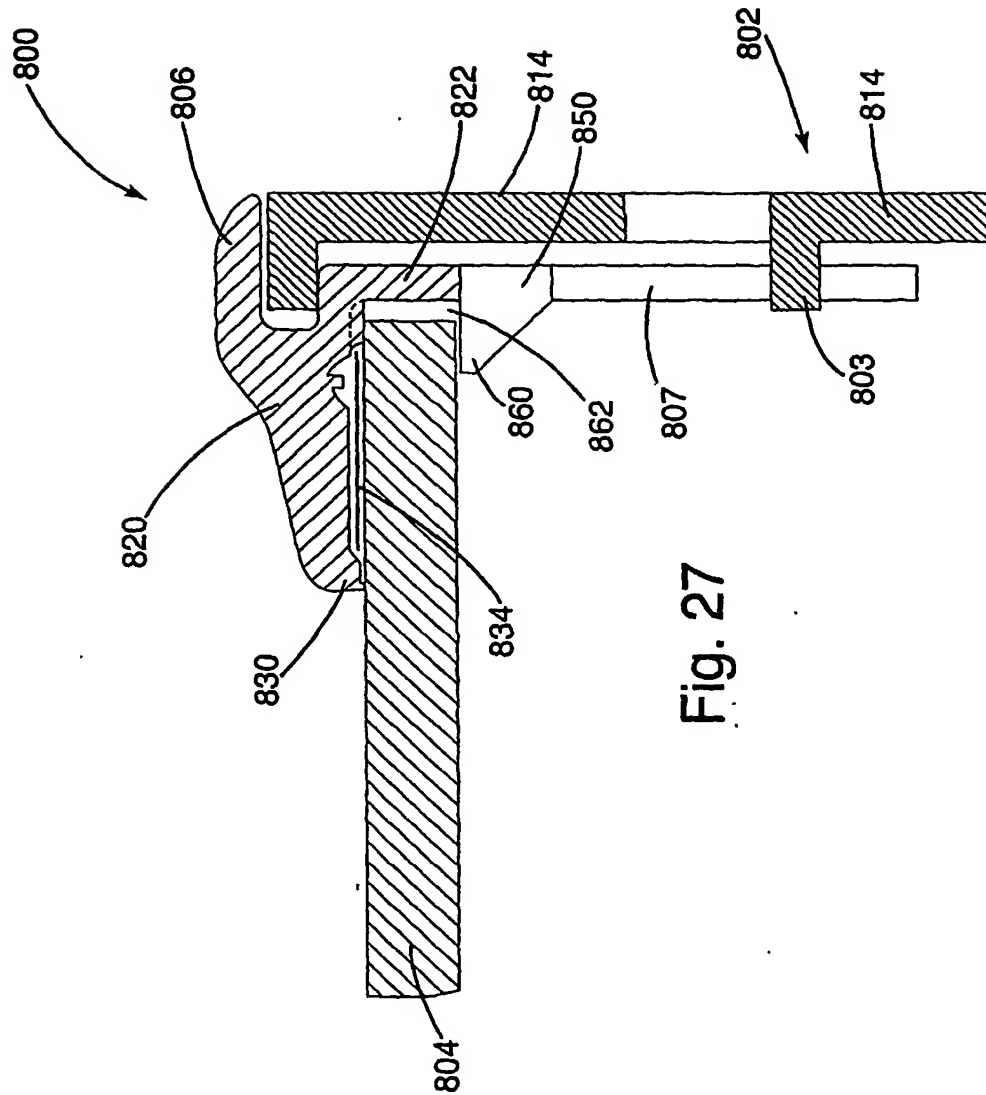
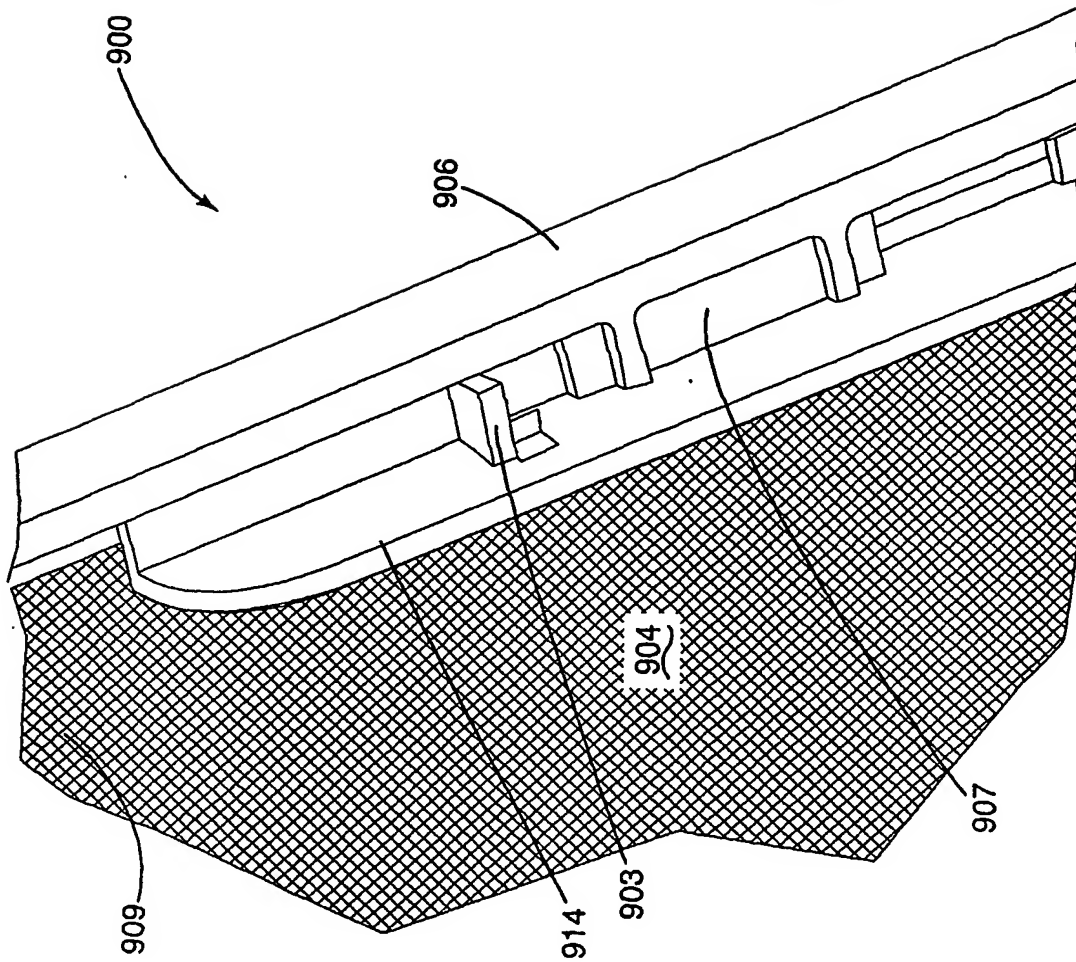


Fig. 27

18/23

Fig. 28



19/23

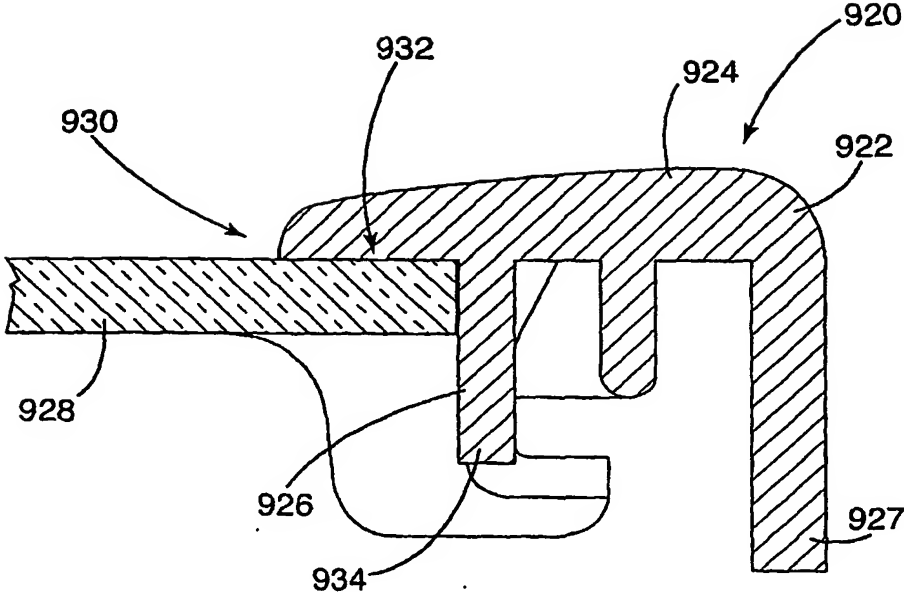


Fig. 29

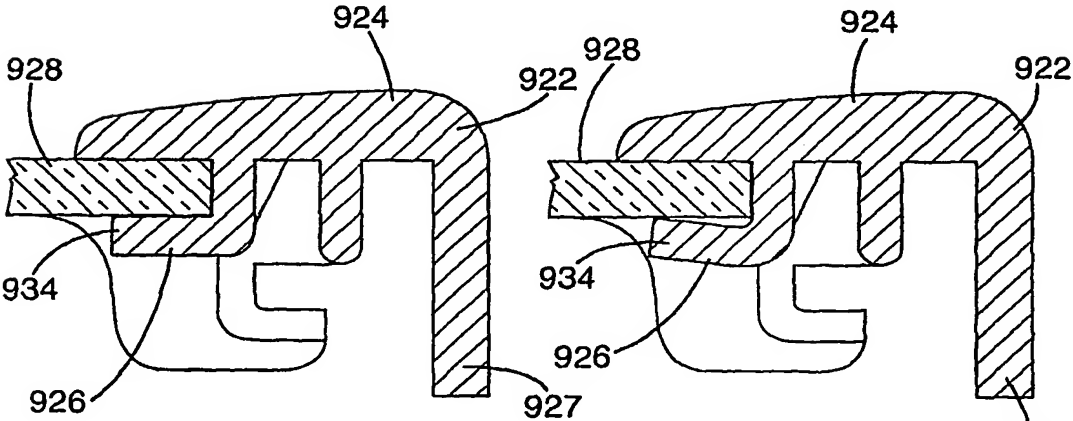


Fig. 30

Fig. 31

20./23

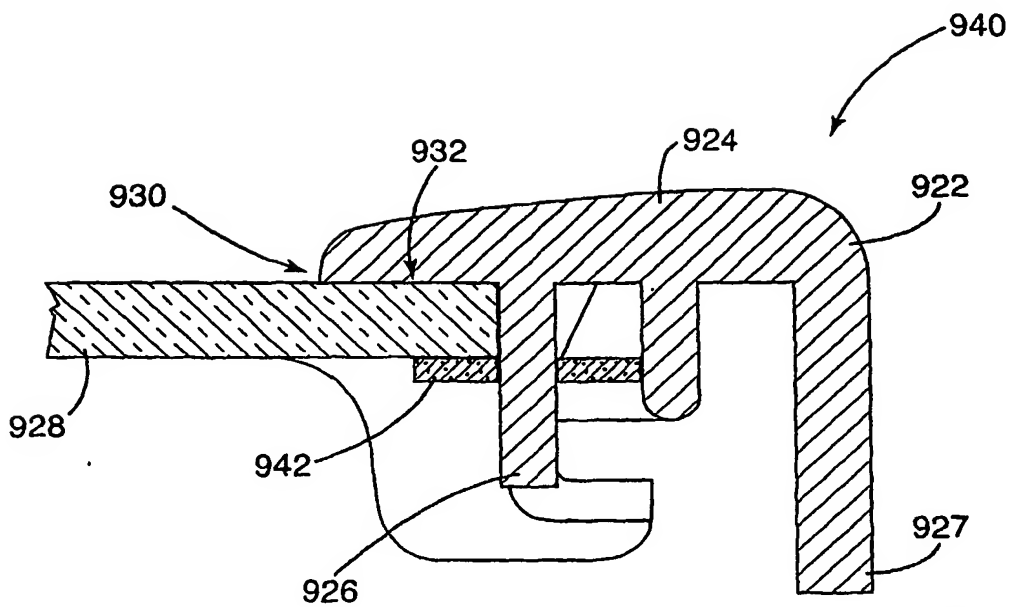


Fig. 32

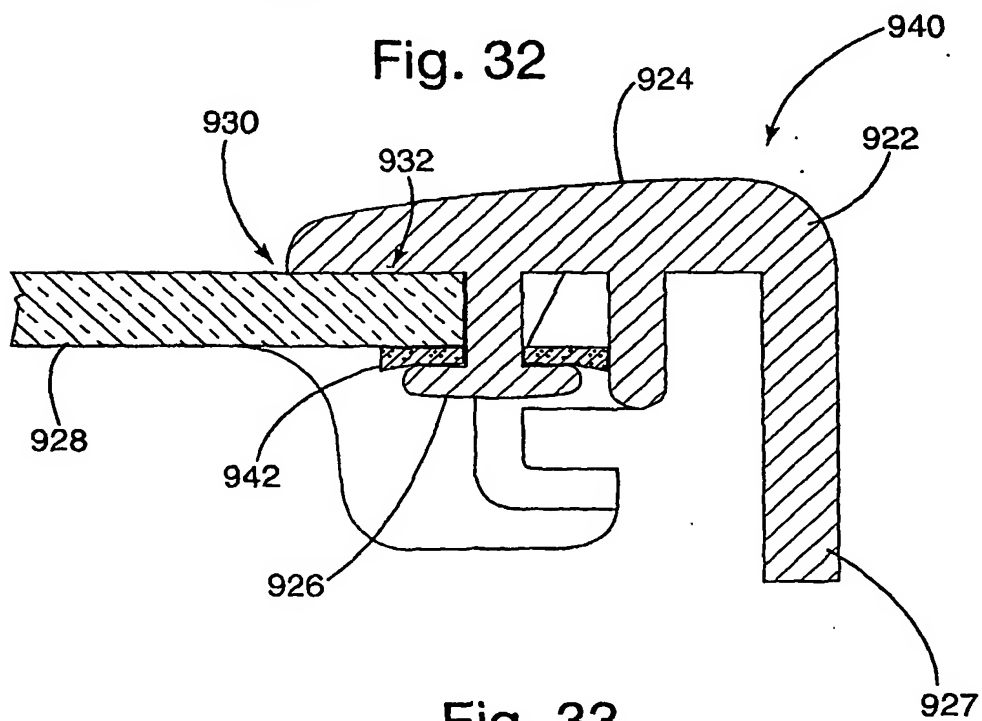


Fig. 33

21/23

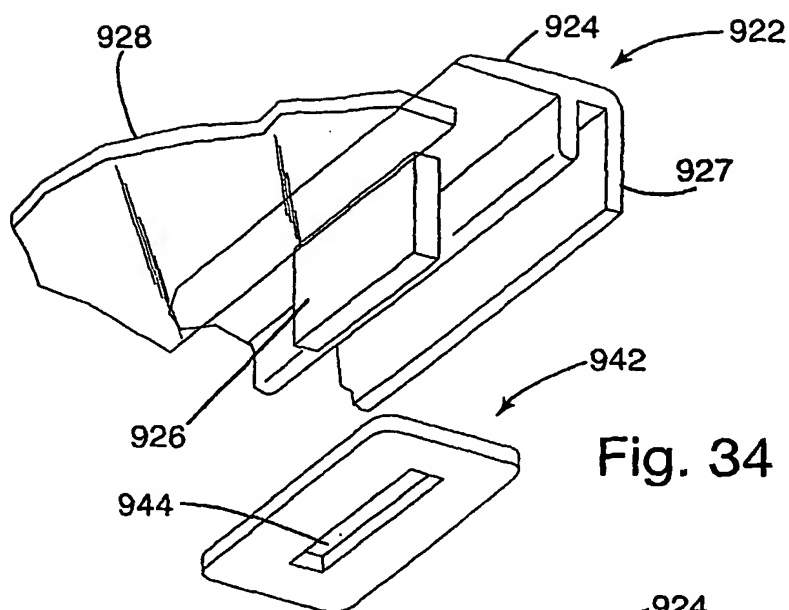


Fig. 34

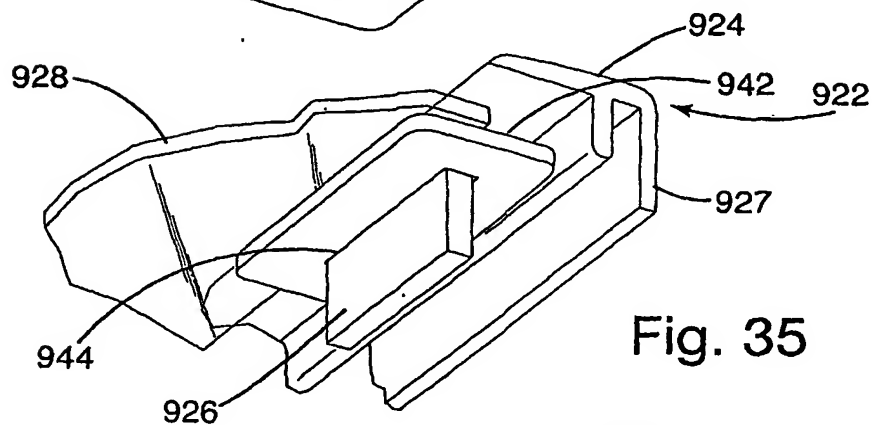


Fig. 35

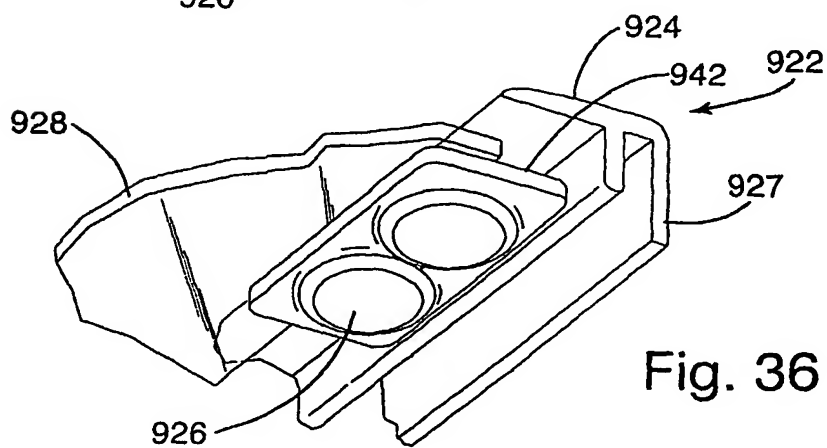


Fig. 36

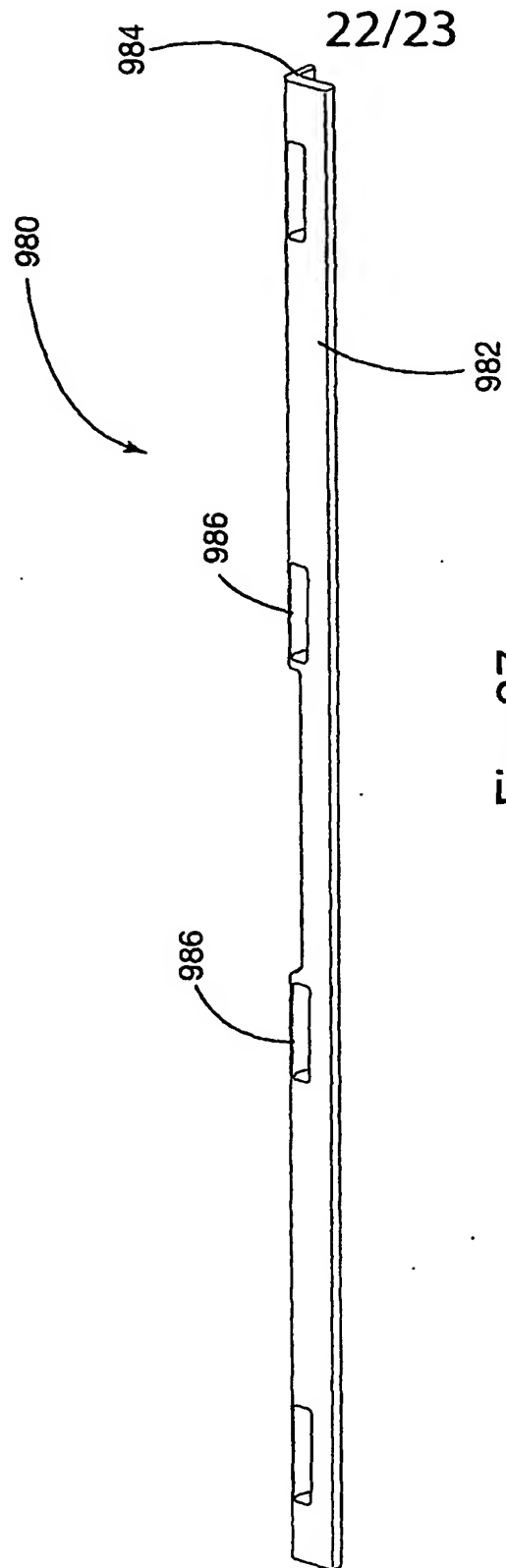


Fig. 37

23/23

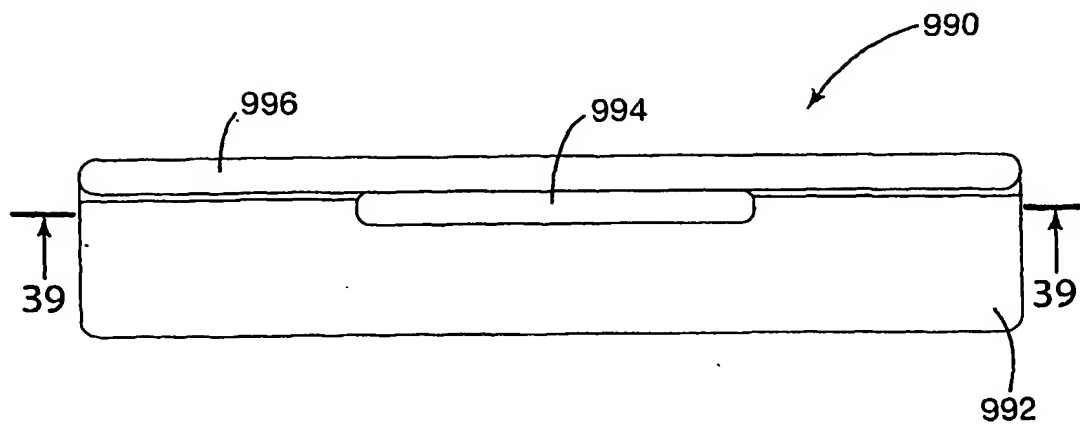


Fig. 38

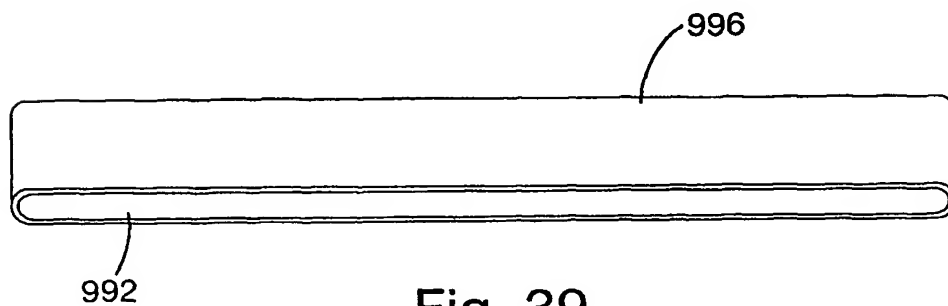


Fig. 39

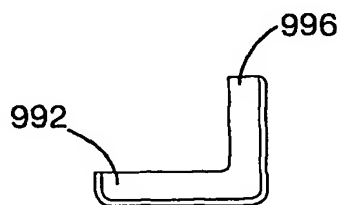


Fig. 40